

изучаемый разрез пород, определение ФЕС и нефтенасыщенности производятся с минимальными погрешностями и удовлетворяют требованиям условий поискового, разведочного и эксплуатационного бурения.

Рукопись рассмотрена на научно-техническом совете ООО "Нефтегазгеофизика" и рекомендована к публикации

УДК 550.832

*Р. Т. Хаматдинов, В. А. Пантюхин,
Д. В. Белоконь, В. М. Теленков
ООО "Нефтегазгеофизика"*

ТЕХНОЛОГИЯ ПРОИЗВОДСТВА ГИС ГОРИЗОНТАЛЬНЫХ СКВАЖИН АППАРАТУРНО-ПРОГРАММНЫМ КОМПЛЕКСОМ "КАСКАД-А"

Рассмотрена технология производства ГИС автономными приборами на бурительных трубах в горизонтальных скважинах. Технология включает в себя полный набор модулей скважинных приборов, способов регистрации данных и программных средств. Показаны возможности и ограничения по определению количественных параметров фильтрационно-емкостных свойств (ФЕС) и нефтегазонасыщенности.

Ключевые слова: горизонтальная скважина, автономные приборы, регистрация, методика интерпретации, анизотропия.

Предлагаемая технология ориентирована на проведение полного комплекса ГИС в горизонтальных скважинах. Она включает в себя работы по определению траектории ствола относительно проектного пласта, его ФЕС, выделение литологических разностей горных пород в интервале ствола и построение литологической колонки.

Основа технологии – аппаратурно-программный комплекс "Каскад-А", а также система регистрации, первичной обработки исходных данных, геологическая интерпретация по определению общей и эф-

фективной пористости, коэффициентов проницаемости и построение литологической колонки разреза.

Комплекс автономных приборов "Каскад-А" доставляется в интервал исследований колонной бурительных труб. Каждый прибор является самостоятельным, снабжен блоком питания и памяти, что позволяет, в зависимости от решаемых задач, комбинировать варианты сборок приборов специализированными механическими соединителями, обеспечивающими возможность изгиба сборки или отдельных приборов до 5° для облегчения прохождения участков интенсивного набора кривизны скважины.

Методы ГИС, реализуемые автономными приборами "Каскад-А", представлены в табл. 1.

Таблица 1
Методы ГИС, реализуемые автономными приборами "Каскад-А"

Методы каротажа	Скважинные приборы
Электрический (ПС, КС, БКЗ, 2БК)	2БК (БК-3+БК-5)-А
Электромагнитный индукционный	5ИК-А
Радиоактивный (ГК, ННК, ГГК-П)	АПРК-ГК, АПРК (ГК+2ННК), АПРК-ГГК
Спектрометрический радиоактивный	АПРК-СГК
Импульсный нейтронный	АПРК-ИННК
Акустический	АКГ (компенсированный)
Акустическая кавернометрия (на отраженных волнах)	АСПГ
Ядерно-магнитный	ЯМТК-А
Инклинометрия	ИФМ-А

Регистрация данных каротажа производится в энергонезависимую память с дискретизацией по времени. Данные каротажа считываются из памяти в компьютер наземного обрабатывающего комплекса после подъема приборов на поверхность.

Привязка данных по глубине осуществляется одним из трех способов:

- по промеру длины бурового инструмента, с использованием записанной в приборах информации о стоянках;

- по результатам измерений глубины наземными датчиками глубины, массы инструмента и положения клиньев станцией ГТИ;
 - по результатам измерений глубины автономным глубиномером.
- Программное обеспечение ServiceMS поддерживает полный технологический цикл проведения геофизических исследований скважин автономными приборами.

Варианты сборки автономных приборов “Каскад-А” представлены на рис. 1.

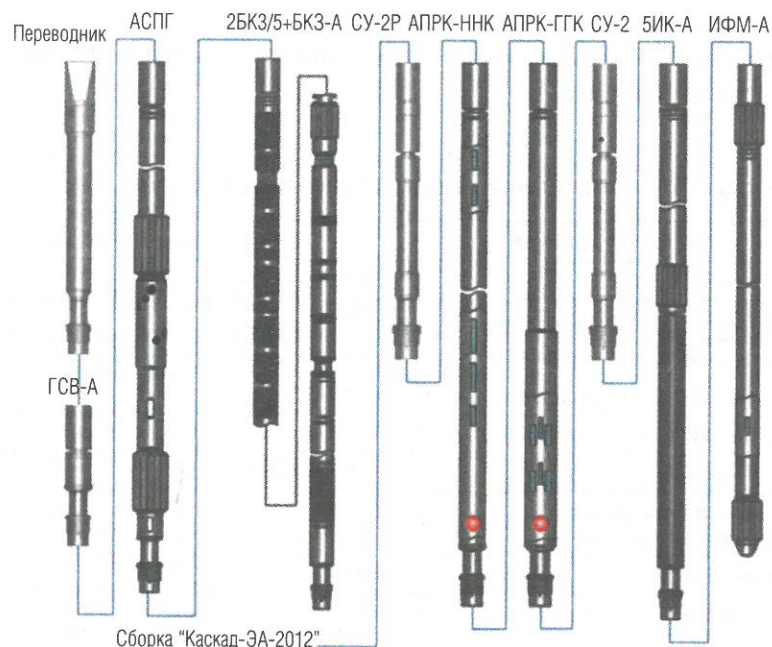


Рис. 1. Варианты сборки автономных приборов “Каскад-А”

Предельная рабочая температура T_{\max} и гидростатическое давление P_{\max} , при которых возможна работа приборов “Каскад-А”, составляют:

- T_{\max} – 90, 120, 150 °С;
- P_{\max} – 60, 80, 100, 120 МПа.

Конструкции зондовых установок и метрологические характеристики скважинных приборов полностью идентичны характеристикам

кабельных приборов, что обеспечивает получение геофизических материалов требуемого качества.

Технические характеристики, область применения и решаемые задачи приведены в табл. 2.

Обработка и интерпретация

Комплекс ГИС, реализуемый аппаратурой “Каскад-А”, позволяет с необходимой точностью, сопоставимой с результатами ГИС кабельной аппаратурой “Каскад”, решать поставленные задачи по определению ФЕС вскрытых пород и нефтегазонасыщенности.

Основные способы комплексной интерпретации данных скважинных исследований рассмотрены в описании технологии проведения ГИС комплексом кабельной аппаратуры “Каскад”.

При этом отличительной особенностью интерпретации данных ГИС является учет послойной анизотропии вдоль ствола горизонтальных скважин. Анизотропия вносит определенные искажения в измеряемые параметры за счет наличия в диапазоне глубинности методов ГИС пластов и пропластков с различными физическими свойствами.

Определение фильтрационно-емкостных свойств

Для уточнения влияния послойной анизотропии на измеряемые параметры проведены методические работы и математическое моделирование. При расчете общей пористости коллекторов для определения влияния послойной анизотропии на методы плотностного, нейтронного и акустического каротажа проведено сопоставление с результатами вертикальных скважин по опорным пластам аргиллитов и коллекторов.

Проведена статистическая обработка измеряемых параметров водородосодержания ω (%), плотности* σ ($г/см^3$), времени пробега продольной волны Δt ($мкс$) комплексной аппаратурой “Каскад-А” по ряду скважин в едином продуктивном горизонте по песчаникам и аргиллитам.

* Относительно плотности и водородосодержания горные породы изотропны, но обладают неоднородностью (гетерогенностью). (Прим. ред.)

Таблица 2

Область применения, решаемые задачи и технические характеристики автономных приборов, входящих в комплекс "Каскад-А"

Марка прибора	Область применения	Решаемые задачи	Измеряемые параметры	Диапазон измерений	Вертикальное расчленение, м	Глубина метода, м
1	2	3	4	5	6	7
Прибор компьютерного типа с двойным боковым контактом и автономный БК3+2БК3/5	Для исследования сильнопологих и горизонтальных участков открытого ствола скважин, заполненных флюидом на основе водной промывочной жидкости с удельным сопротивлением 0,03–200 Ом·м	Выделение электрических однородных пластов и пластов с зоной проникновения; определение удельного электрического сопротивления; определение нефтегазонасыщенных пластов	ρ_k по зондам БК3: А0,4М0,1Н А1М0,1Н А2М0,5Н А4М0,5Н N0,5М2,0А N0,6М0,5А	0–1000 Ом·м	0,5	0,4–2,5
Прибор автономный двойного бокового типа 2БК3/5-А	Для исследований сильнопологих и горизонтальных участков открытого ствола нефтяных и газовых скважин, заполненных буровым раствором на водной основе с сопротивлением от 0,03 до 20 Ом, с номинальным размером ствола до 300 мм	Выделение пластов, определение зоны проникновения и УЭС неизменной части пласта, выделение коллекторов, оценка характера нефтегазонасыщенности	ρ_k зонда БК-3 ρ_k зонда БК-5	0,2–5000 Ом·м 0,2–5000 Ом·м	0,15	0,8 0,33

Продолжение табл. 2

1	2	3	4	5	6	7
Прибор индукционного каротажного зондирования автономный БК-А	Для исследования сильнопологих и горизонтальных участков открытого ствола нефтяных и газовых скважин, заполненных любым буровым раствором без магнитных добавок, с номинальным диаметром скважины до 400 мм	Выделение электрически однородных пластов и определение глубины зоны проникновения; определение УЭС неизменной части пласта и промывочной зоны; определение продольного УЭС и оценка вертикальной анизотропии нефронасыщенных пластов и пластов без зоны проникновения; оценка характера нефтегазонасыщенности	Проводимость по зондам: ЗИ0,3 ЗИ0,5 ЗИ0,85 ЗИ1,26 ЗИ2,05	3–2000 мСм/м	0,35–2,5	0,4–3,0
Прибор радионуклонный АПР-ННК	Для исследования сильнопологих и горизонтальных участков открытого ствола скважин диаметром 120–350 мм, заполненных любой промывочной жидкостью	Литологическое расчленение разреза; определение ФЕС и минерального состава горных пород; выделение газонасыщенных пластов, ГНК и ГВК	Водородосодержание породы; естественная гамма-активность породы	1–40%	0,8	0,2–0,4
Прибор плотностного гамма-гамма-каротажа автономный АПР-ГТК	Для исследования сильнопологих и горизонтальных участков открытого ствола диаметром до 216 мм, заполненных буровым раствором любого состава	Литологическое расчленение разреза; определение коэффициентов пористости; определение (уточнение) минерального состава пород	Объемная плотность пород	1,7–3,0 г/см ³	> 0,2	0,5

Продолжение табл. 2

1	2	3	4	5	6	7
Прибор акустическо-го каротажа автономный АК-А	Для исследования сильнопологих и горизонтальных участков открытого ствола диаметром до 127–216 мм, заполненных буровым раствором любого состава	Литологическое расчленение разреза по упругим свойствам горных пород; определение коэффициентов и типов пористости; выделение проницаемых зон в сложнопостроенных коллекторах; определение модулей упругости	Интервальное время продольной, поперечной и Стоунли волн	Δt_p 100–500 мкс/м Δt_s 200–500 мкс/м Δt_{st} 600–800 мкс/м	> 0,5	0,2–0,35
Прибор интегрального гамма-каротажа автономный АПРК-ГК	Для исследования сильнопологих и горизонтальных участков ствола, заполненных буровым раствором любого состава с содержанием NaCl не более 300 г/л, в скважинах диаметром до 350 мм	Литологическое расчленение разреза; определение коэффициентов глинистости; определение (уточнение) минерального состава пород; выделение радиогеохимических аномалий	Естественная гамма-активность пород	0–250 мкР/ч	0,8	0,4
Профилемер акустический АСПТ-90	Для измерения внутренней геометрии открытых стволов скважин, заполненных буровым раствором на водной или нефтяной основе плотностью до 1,2 г/см ³ в скважинах диаметром 127–216 мм	Определение профиля ствола скважины по восьми внутренним радиусам в каждом поперечном сечении	Профиль ствола скважин	60–300 мм	0,1–0,2	–

Продолжение табл. 2

1	2	3	4	5	6	7
Ферромагнитный автономный инклинометр ИФМ-А	Для исследования необсаженных сильнопологих и горизонтальных участков ствола скважин, заполненных буровым раствором на немагнитной основе	Определение пространственных координат ствола скважины	Зенитные углы наклона; магнитные азимуты	0–180° 0–360°	–	–
Прибор импульсного нейтронного каротажа автономный АПРК-ИН-108	Для исследования горизонтальных и пологих скважин открытого ствола и обсаженных стальной колонной, заполненной жидкостью на любой основе и газом, диаметром 120–350 мм	Определение текущей нефтегазонасыщенности; определение ГНК и ГВК; определение пористости коллекторов; литологическое расчленение разреза	Декремент затухания плотности нейтронов	–	0,5	0,5
Прибор спектрометра гамма-каротажа автономный АПРК-СРК	Для исследования горизонтальных и сильнопологих скважин, заполненных жидкостью на любой основе или газом, диаметром 120–350 мм	Корреляция геологических разрезов; детальное литологическое расчленение; определение глинистости коллекторов; определение (уточнение) минерального состава пород	Массовое содержание U, Th, K	U – 0,5–200 ppm Th – 0,5–200 ppm K ⁴⁰ – 0,1–20%	0,5	0,5

1	Прибор кроссдипольного каротажа АВАК								
2	Для исследования горизонтальных и пологих скважин открытого ствола и обсаженных колонной, заполненной жидкостью на любой основе, с диаметром скважины 120–350 мм	Для исследования горизонтальных и пологих скважин открытого ствола с диаметром 190–295 мм, заполненных жидкостью без магнитных добавок	Корреляция геологических разрезов; определение коллекторских свойств; определение анизотропии горных пород	Корреляция геологических разрезов; литологическое расчленение; определение общей и эффективной пористости, проницаемости, остаточной водонасыщенности, нефтегазонасыщенности в скважинах с открытым стволом, заполненным жидкостью на водной основе	Скорости продольных, поперечных и волн Стоунли	Δt_p 120–600 мкс/м Δt_s 250–800 мкс/м Δt_{st} 600–900 мкс/м	0,5	0,25 0,35 0,5	0,14 0,18
3						1–100% 1–3000 мс	0,62		
4									
5									
6									
7									

Целью проведенного анализа было выявление влияния анизотропии пород и скважинных условий в горизонтальных стволах скважин. Работы проведены с использованием стандартизированной, метрологически проверенной аппаратуры.

Для исключения систематических погрешностей в технических характеристиках приборов проведен анализ получаемых данных по опорному пласту пяти различных скважин одного месторождения.

Для проверки стабильности работы прибора проведен анализ построения статистических распределений параметров ω , σ , Δt .

В качестве опорного пласта выбраны достаточно однородные аргиллиты. Кривые распределения приведены на рис. 2.

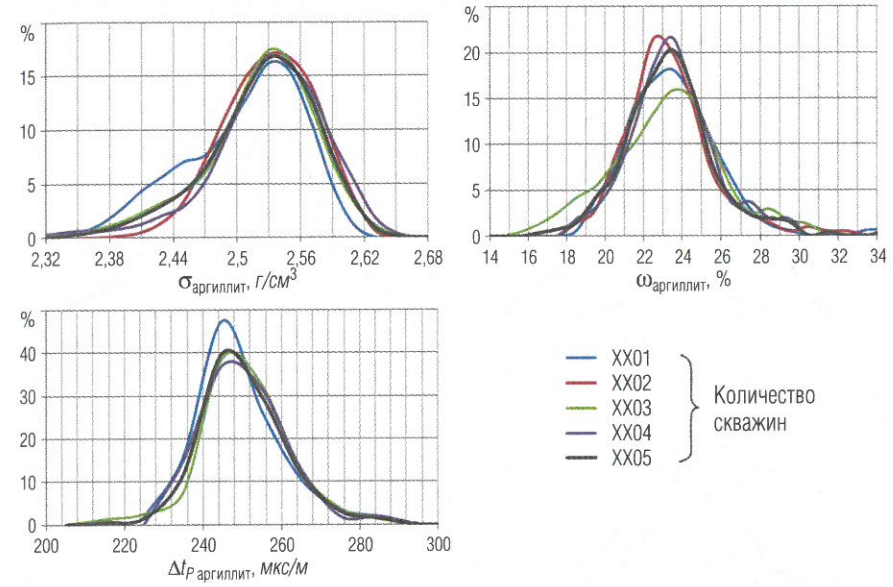


Рис. 2. Вариационные кривые распределения измеряемых параметров ω , σ , Δt

Систематические отклонения по измеряемым параметрам в различных скважинах отсутствуют. Разброс значений находится в пределах паспортной точности приборов.

С учетом стабильной работы скважинной аппаратуры оценено влияние послышной анизотропии пород, регистрируемой в горизонтальных

скважинах в связи со слоистым строением разреза, в сопоставлении с данными, полученными в вертикальных скважинах.

Возможное влияние данной анизотропии при проведении ГИС горизонтальных стволов на значения ФЕС, определяемых методами ГК, ГГК, АК, ННК-Т, оценивалось по результатам сравнения измеряемых параметров в вертикальных и горизонтальных скважинах по одному и тому же продуктивному горизонту. Для анализа были взяты данные, полученные в пяти горизонтальных и в пяти вертикальных скважинах. В данные нейтронного каротажа вводились поправки за влияние скважинных условий, в первую очередь за изменение диаметра ствола скважин. Результаты сопоставления, представленные в виде кривых распределения значений плотности, водородосодержания и времени пробега продольной волны по песчаникам и аргиллитам, приведены на рис. 3.

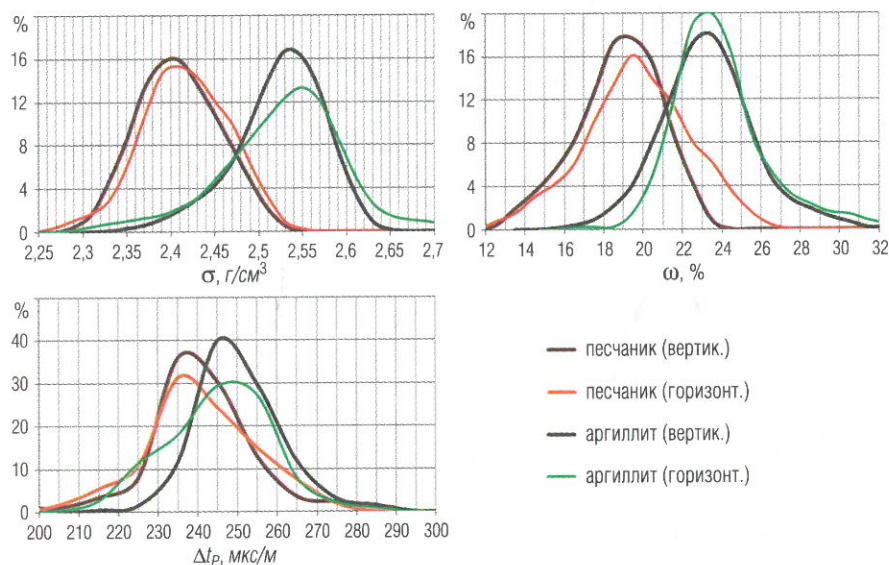


Рис. 3. Сопоставление статистических распределений ω , σ , Δt_P по вертикальным и по горизонтальным скважинам

По результатам анализа отмечается, что существующие технологии регистрации и предварительной обработки данных плотностного

каротажа нивелируют влияние послойной неоднородности в горизонтальных стволах. На данные нейтронного каротажа влияние этого фактора сказывается незначительно и выражено в увеличении зоны перехода на границах пластов. Отмечается расхождение водородосодержания (ω) в песчаниках до 2% при значениях более 22%.

Наиболее сильно в горизонтальных стволах могут искажаться результаты обработки данных акустического каротажа. Даже в однородных коллекторах толщиной более 2 м отмечается занижение интервального времени продольной волны относительно результата, полученного в вертикальных скважинах (до 10–15 мкс).

Подобное расхождение связано с глубиной зоны исследования (для продольной волны она примерно равна 25–35 см) и объемной характеристикой регистрируемого сигнала; в случае расположения скважины вдоль границы пластов одновременно регистрируются упругие волны обоих пластов.

Акустические волны распространяются в упругой среде независимо друг от друга, что позволяет при расположении скважины на границе двух пластов одновременно регистрировать информацию о свойствах этих объектов. Зависимость зоны исследования акустического каротажа от частоты регистрируемой упругой волны позволяет “почувствовать” границу между пластами не только в момент пересечения ее скважиной, но и за 30–50 см до наступления этого события.

Использование данной информации позволяет получить более полную картину геологической обстановки вокруг стенок скважины и оценивать наличие подошвы или кровли пласта относительно вмещающих пород в пределах до 0,5 м при регистрации продольной и поперечной волн.

Представленная на рис. 4 скважина с углом наклона ствола 89° пробурена в карбонатных породах и пересекает два песчано-глинистых пропластка толщиной 0,15 и 0,2 м. Данные акустического каротажа записаны прибором АВАК-А. На волновых картинах по замерам монополюсных зондов в интервале глубин x121–x136 м одновременно отмечаются фазовые линии двух продольных (P) волн, распространяющихся по карбонатной (быстрой) (1) и глинистой (медленной) (2) сторонам стенки скважины. Это же явление обеспечивает разницу в скорости распространения поперечной волны, зарегистрированной дипольными зондами (4, 5). Фазы поперечной (S) волны в этом интервале на монополюсных зондах однозначно не прослеживаются из-за интерференции.

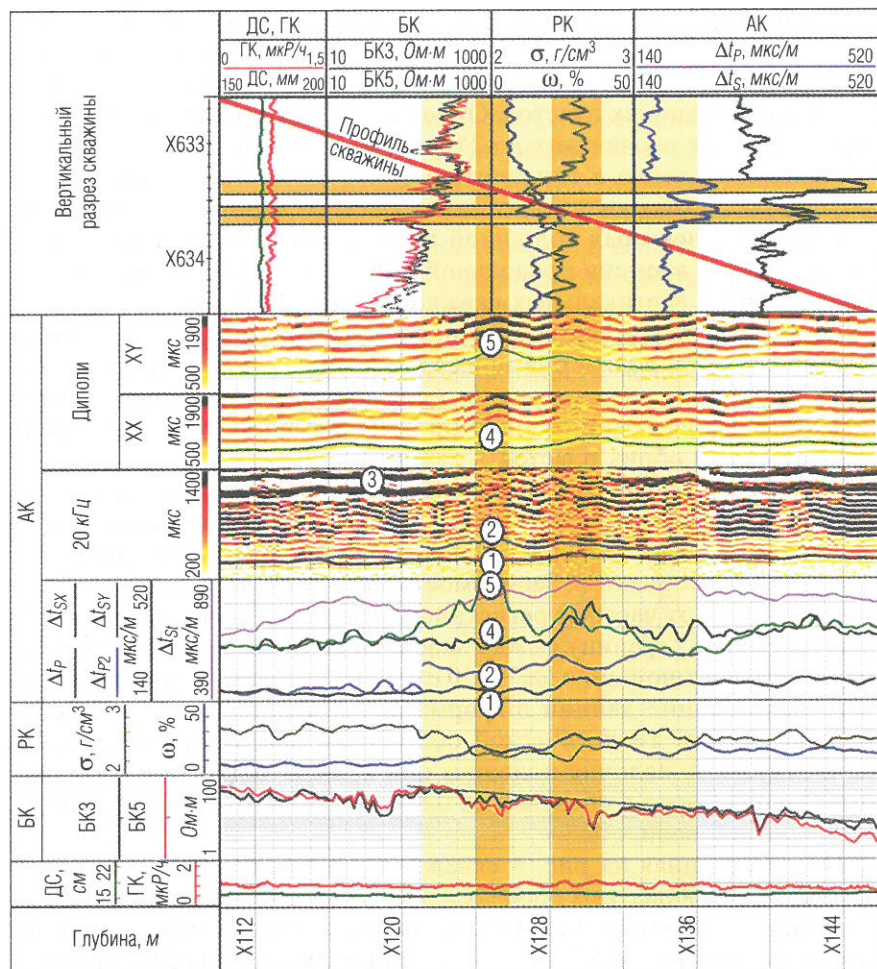


Рис. 4. Регистрация двух продольных волн с различной скоростью распространения (угол наклона скважины 89°; запись получена автономным прибором АВАК-А):

1 – интервальное время продольной волны (Δt_{p1}), распространяющейся по высокоскоростной части стенки скважины; 2 – интервальное время продольной волны (Δt_{p2}), распространяющейся по низкоскоростной части стенки скважины; 3 – волна Стоунли; 4 и 5 – времена распространения поперечной волны для ортогонально расположенных дипольных зондов

По данным электрических методов пласты с пониженным сопротивлением расположены в интервалах х123–х126 и х129–х132 м, в то время как двойственность пакетов продольной и поперечной волн наблюдается в интервале х121–х136 м. Если перевести эти значения в показания абсолютной глубины, то получается, что второй пакет продольной волны наблюдается примерно за 0,2 м до пласта. Это соответствует глубинности акустического исследования при частоте излучателя 20 кГц.

Данные, записанные приборами 2ГГК-П и 2ННК-Т, подобными эффектами не обладают.

Определение нефтегазонасыщенности

Определение коэффициентов нефтегазонасыщенности производится по стандартным методикам на основе уравнения Арчи–Дахнова и петрофизическим зависимостям конкретного района.

Основной проблемой количественной оценки нефтегазонасыщенности является определение удельных сопротивлений коллекторов в горизонтальных скважинах из-за влияния послойной анизотропии.

При проведении ГИС методами электрического каротажа в зоне исследования зондов наряду с коллекторами находятся прослой с различными сопротивлениями. В терригенных разрезах это глинистые и уплотненные породы с карбонатным цементом. Кроме того, искажающим фактором является зона проникновения фильтрата бурового раствора. При исследовании подобного пласта, анизотропного относительно электрического сопротивления, получаемые результаты могут существенно отличаться от электрического сопротивления в зоне напластования коллектора.

Специалистами ООО «Нефтегазгеофизика» проведено математическое моделирование по оценке влияния послойной анизотропии на показания электрических методов. В программно-методическом комплексе LogWin-ЭК рассмотрена возможность определения параметров анизотропии пласта, вскрытого наклонными и горизонтальными скважинами по данным зондов ИК.

Область получения достоверных данных удельного сопротивления ограничена пластами большой толщины. Качественным признаком наличия подобных пластов вдоль ствола горизонтальных скважин

является равенство значений удельных сопротивлений, определяемых большими зондами ИК (зонды 2,05 и 1,26).

Таким образом, к настоящему времени в большинстве случаев определяемые параметры нефтегазонасыщенности носят ориентировочный характер и используются только для качественной оценки.

Для повышения достоверности определения удельных сопротивлений проводятся теоретические и модельные работы по учету влияния послойной анизотропии.

Комплексная интерпретация данных

Данные, зарегистрированные автономными приборами комплекса “Каскад-А”, позволяют оценить исследуемый интервал пласта и определить значения ФЕС в скважинах терригенного и карбонатного разрезов (рис. 5, 6).

Комплексная интерпретация данных, зарегистрированных автономными приборами в горизонтальных и субгоризонтальных скважинах, производится с использованием тех же методик, что и в вертикальных стволах. Отличием является учет влияния послойной анизотропии на результаты выделения границ пластов отдельными методами.

В терригенных коллекторах методы нейтронного, плотностного и акустического каротажей позволяют с минимальной погрешностью оценивать только коэффициенты общей пористости и глинистости. Задача определения коэффициентов эффективной пористости и проницаемости решается с помощью данных ядерно-магнитного каротажа (рис. 5).

Использование информации больших зондов индукционного каротажа и разноглубинных данных, полученных с помощью акустических зондов, позволяет выделить изотропные интервалы пласта, где по данным электрометрии с минимальной погрешностью оцениваются коэффициенты нефтегазонасыщенности.

В карбонатных коллекторах исследования методом акустического каротажа в комплексе с методами нейтронного и плотностного каротажа позволяют разделить коллектор по типам пористости (гранулярная, трещинная, каверновая и смешанная) и выделить на качественном уровне проницаемые интервалы (рис. 6).

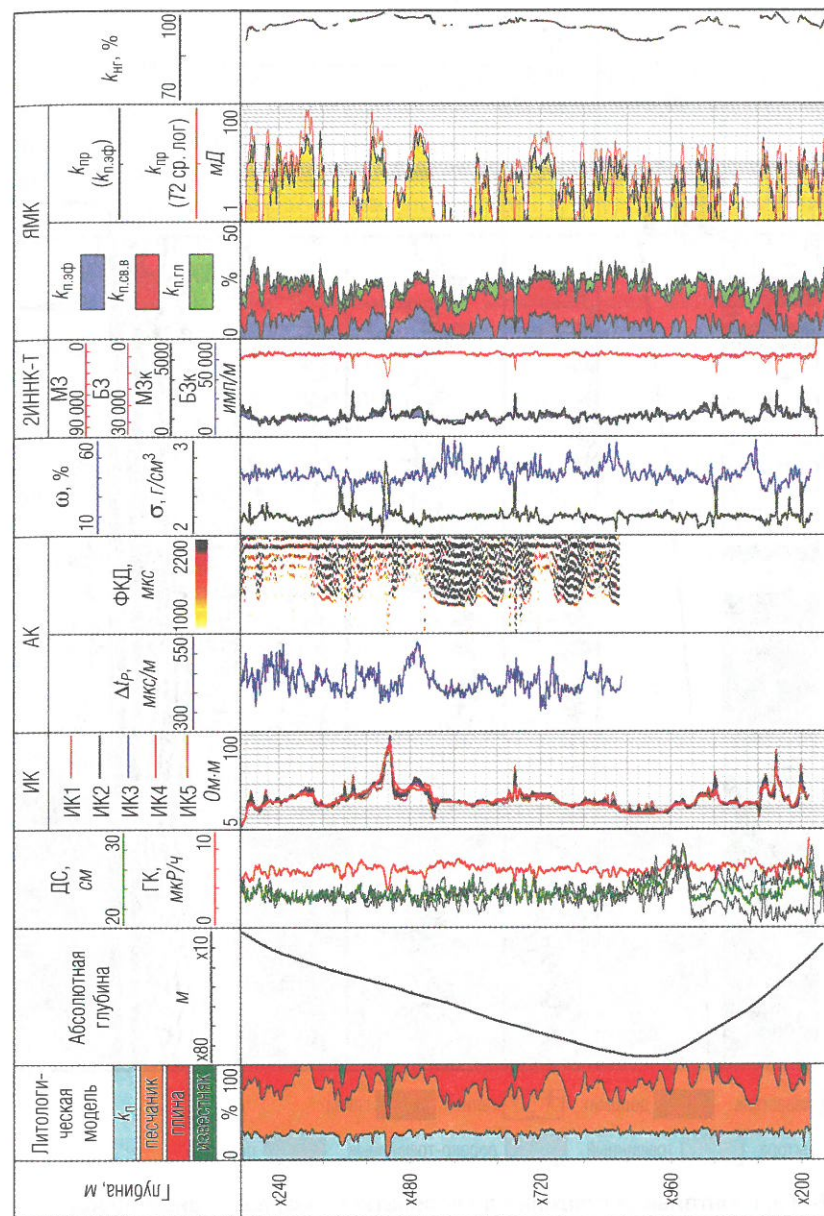


Рис. 5. Горизонтальная скважина в терригенном разрезе горных пород

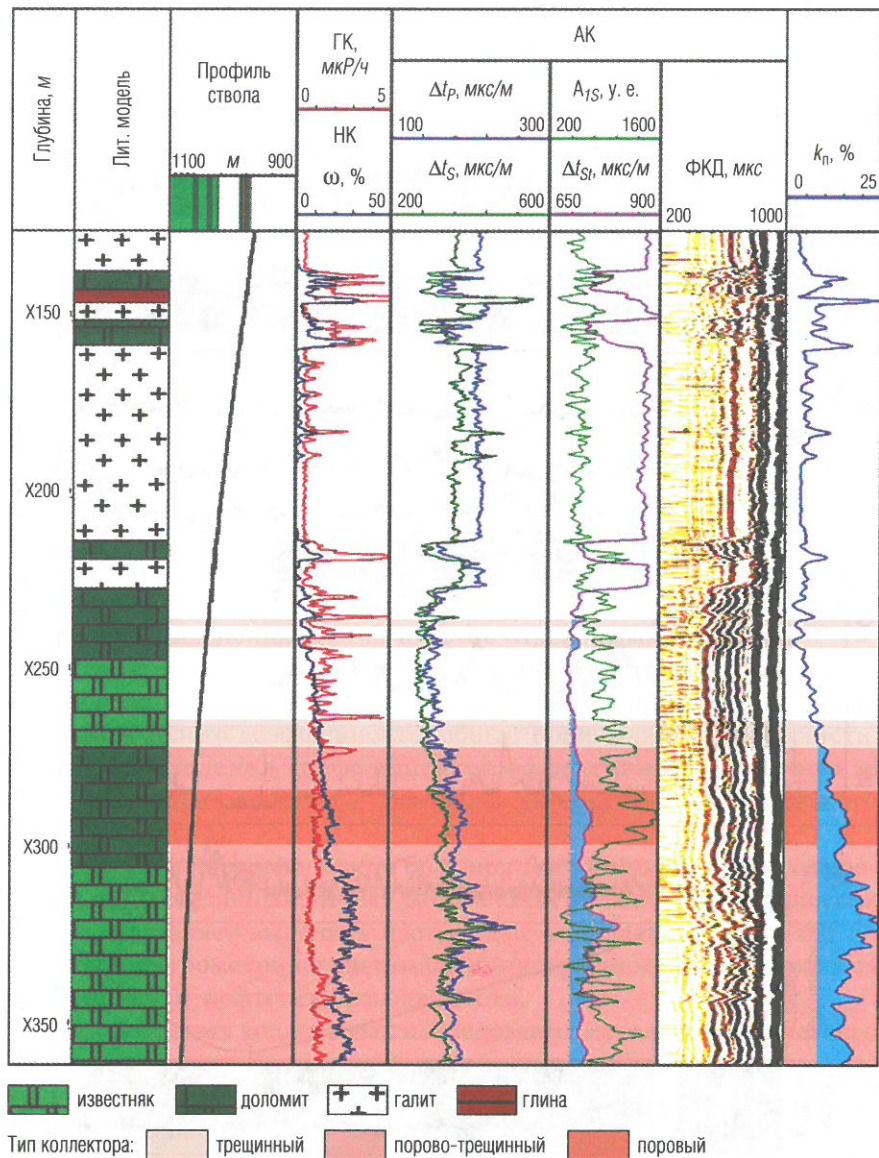


Рис. 6. Горизонтальная скважина в карбонатном разрезе горных пород

Заключение

В ООО «Нефтегазгеофизика» разработан и производится в промышленном масштабе полный набор модулей автономной геофизической аппаратуры, включающей современные методы ядерно-магнитного, кроссдипольного, литоплотностного и импульсного нейтронного каротажа, обеспечивающие выполнение ГИС при исследовании всех категорий скважин независимо от горно-геологических условий месторождения.

Технология ГИС автономными комплексами включает в себя скважинные приборы, систему регистрации, метрологическое обеспечение, программно-методические средства.

Технология позволяет получать с минимальной погрешностью комплекс количественных и качественных параметров по оценке ФЕС ($k_{п.общ}$, $k_{п.эф}$, $k_{пр}$) и нефтегазонасыщенности ($k_{нг}$) всех находящихся в разработке и эксплуатации типов коллекторов.

Отсутствие необходимости в каротажном подъемнике позволяет проводить геофизические исследования с минимальными затратами на удаленных скважинах и нефтяных платформах с доставкой на них только геофизических модулей.

Рукопись рассмотрена на научно-техническом совете ООО «Нефтегазгеофизика» и рекомендована к публикации